

การวิเคราะห์อายุความล้าของวัสดุเหล็กเพลาขาว ภายใต้ภาระเกินพิกัดซึ่งกระทำเป็นค่า

ผศ.ดร. ก่อเกียรติ บุญชูกุล*
ยุทธนา เจริญวงศ์

บทคัดย่อ

วัสดุเหล็กเพลาขาวได้ถูกนำมาทดสอบเพื่อหาค่าความด้านทานการแตกหัก และศึกษาผลของการเปลี่ยนแปลงแบบเกินพิกัดซึ่งกระทำเป็นค่าที่มีต่อพฤติกรรมการเดินโดยของรอยร้าวเนื่องจากความล้าโดยเปรียบเทียบกับผลการทดสอบภายใต้ภาระเปลี่ยนแปลงแบบแบนปิจูตองที่ ผลการทดสอบในช่วงอัตราส่วนภาระเกินพิกัดตั้งแต่ 1.4-2.6 พนว่าอายุความล้าของวัสดุเหล็กเพลาขาวจะเพิ่มขึ้นเมื่อวัสดุถูกกล่าวถูกกระทำด้วยภาระเกินพิกัดที่กระทำเป็นค่า หรือเมื่อขนาดของภาระเกินพิกัดที่มากระทำมีค่าเพิ่มขึ้น

คำสำคัญ : อายุความล้า ภาระเกินพิกัดซึ่งกระทำเป็นค่า

ความหมายของสัญลักษณ์

a	ระยะทางที่วัดจากกึ่งกลางรูเจาะบนชิ้นงานทดสอบถึงปลายรอยร้าว, mm
$\frac{da}{dN}$	อัตราการเดินโดยของรอยร้าว, mm/cycle
ΔK	ค่าพิสัยของตัวประกอบความเรื้อรังของความเค้น, MPa $\sqrt{\text{m}}$
K_c	ค่าความด้านทานการแตกหักในสถานะความเค้นแบบความเครียดราบ, MPa $\sqrt{\text{m}}$
N	จำนวนรอบของภาระที่กระทำ, รอบ
N_t	อายุความล้า, รอบ
OLR	อัตราส่วนภาระเกินพิกัด, OLR = ภาระสูงสุดขณะเกิดภาระเกินพิกัด/ภาระสูงสุดที่ภาระปกติ

บทนำ

ภายใต้สภาพการทำงานจริงชั้นส่วนต่าง ๆ ทางวิศวกรรมจะอยู่ภายใต้ภาระที่มีขนาดเปลี่ยนแปลง ซึ่งภาระเปลี่ยนแปลงดังกล่าวสามารถถ่ายทอดไปสู่ความเสียหายของชิ้นส่วนโครงสร้างอันเนื่องมาจากความล้าได้ รอยร้าวจัดเป็นความเสียหายที่พบเห็นได้บ่อยที่สุดก่อนที่ชิ้นส่วนจะมีการแตกหักอย่างสมบูรณ์ การเข้าถึงพฤติกรรมการขยายตัวของรอยร้าวอันเนื่องจากความล้าสามารถกระทำได้โดยใช้แนวทางของกลศาสตร์การแตกหัก ความเข้าใจในพฤติกรรมการเดินโดยของรอยร้าวประกอบกับการทราบค่าความด้านทานการแตกหักของวัสดุจะช่วยให้สามารถประเมินอายุที่หลงเหลือของชิ้นส่วนโครงสร้างที่ตรวจพบรอยร้าวได้

*หัวหน้าหน่วยปฏิบัติการวิจัยเทคโนโลยีการป้องกันฯ คณะวิศวกรรมศาสตร์ จุฬาลงกรณ์มหาวิทยาลัย

งานวิจัยนี้จะกล่าวถึงผลการทดสอบหาค่าความด้านท่านการแตกหัก และผลของการเปลี่ยนแปลงแบบเกินพิกัดที่กระทำเป็นคานที่มีต่อพัฒนาระบบการเดินโดยอย่างร้าวเนื่องจากความล้าในวัสดุเหล็กเพลาข้าวเพื่อใช้เป็นข้อมูลพื้นฐานในการประเมินอายุความล้าของชิ้นส่วนที่ทำจากวัสดุดังกล่าวต่อไป

กระบวนการทดสอบ

องค์ประกอบทางโลหะวิทยา และสมบัติทางกลของวัสดุเหล็กเพลาข้าวที่นำมาศึกษา วิจัยแสดงอยู่ในตารางที่ 1 และ 2 ตามลำดับ

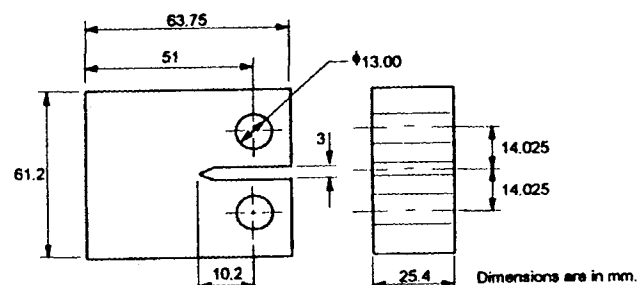
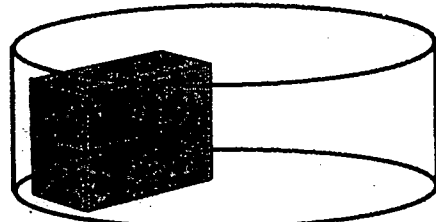
ตารางที่ 1 แสดงองค์ประกอบทางโลหะวิทยาของวัสดุเหล็กเพลาข้าว

คาร์บอน(C)	ซิลิกอน(Si)	แมงกานีส(Mn)	โครเมียม(Cr)	ไมล์บดินัม(Mo)
0.42%	0.25%	0.75%	1.1%	0.2%

ตารางที่ 2 แสดงสมบัติทางกลของวัสดุเหล็กเพลาข้าว

ความต้านแรงดึงคราก(σ_y) MPa	ความแข็ง(HRC)
1210	30.5

ชิ้นงานทดสอบแบบ CT ซึ่งมีการจัดวางตัวแบบ L-T (รูปที่ 1) ได้ถูกเลือกมาทำการทดสอบ การเตรียมชิ้นงานทดสอบเริ่มจากการตัดเพลาข้าวขนาดเส้นผ่านศูนย์กลาง 75 มม. ออก เป็นท่อนยาว 62 มม. จากนั้นจึงนำท่อนเหล็กดังกล่าวไปทำการไส้จนมีรูร่าง และขนาดตามที่ต้องการ ก่อนจะนำไปประกร่องด้วยกรรมวิธีการตัดด้วยเส้นลวด และขัดผิวให้เรียบง่ายตามลำดับ มิติของชิ้นงานทดสอบที่ได้แสดงอยู่ในรูปที่ 2

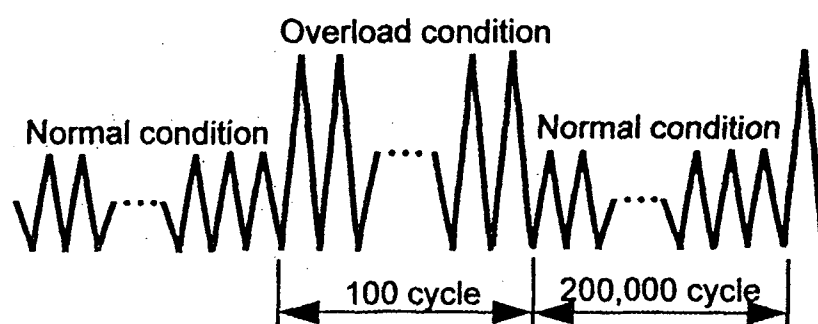


รูปที่ 1 แสดงลักษณะการจัดวางตัวแบบ L-T

รูปที่ 2 แสดงรูปร่าง และมิติของชิ้นงานทดสอบที่ใช้ในการศึกษาวิจัย

สำหรับขั้นตอนการทดสอบ แบ่งออกได้เป็น 3 ส่วน ดังนี้คือ

- ทำการทดสอบหาค่าความต้านทานการแตกหักในสภาวะความเด่นแบบความเครียดระนาบ (Plain strain fracture toughness : K_{Ic}) ขั้นตอนการทดสอบหาค่าดังกล่าวของงานวิจัยนี้ ยึดตามมาตรฐาน ASTM E399
- ทำการทดสอบหาอัตราการเติบโตของรอยร้าวเนื่องจากความล้าภายในได้แบบแบบแอมป์ลิจูดคงที่ ณ สภาวะของการที่ใช้ทดสอบคือ 2.000 ± 0.500 ตัน
- ทำการทดสอบภายใต้การเกินพิกัดซึ่งกระทำเป็นคาน (รายละเอียดของดัวแปรที่เกี่ยวข้อง กับสภาวะทดสอบ และสภาวะของการเปลี่ยนแปลงแบบเกินพิกัดที่ทำการทดสอบนั้นแสดงอยู่ในรูปที่ 3 และตารางที่ 3 ตามลำดับ)



รูปที่ 3 แสดงรายละเอียดสภาวะของการที่ใช้ทดสอบภายใต้การแบบเกินพิกัดที่กระทำเป็นคาน

สภาวะที่	สภาวะของการเกินพิกัด(ตัน) (การเฉลี่ย ± แอมป์ลิจูดภาระ)
1	2.500 ± 1.000
2	3.000 ± 1.500
3	3.500 ± 2.000
4	3.750 ± 2.250
5	4.000 ± 2.500

ตารางที่ 3 แสดงสภาวะของการเกินพิกัดที่ทำการทดสอบ

ลักษณะของการที่ใช้ทดสอบทั้งในขณะที่เกิด และไม่เกิดภาระแบบเกินพิกัดจะเป็นคลื่นรูปไซน์ ความถี่เท่ากับ 30 เฮิรตซ์ ภาระดังกล่าวถูกสร้างขึ้นจากเครื่องทดสอบ Hydraulic servo testing M/C ซึ่งผลิตโดยบริษัท Saginomiya โดยมีขีดความสามารถในการสร้างภาระอยู่ที่ 30 ตัน ควบคุมโดยส่วนควบคุมหลักรุ่น 2405

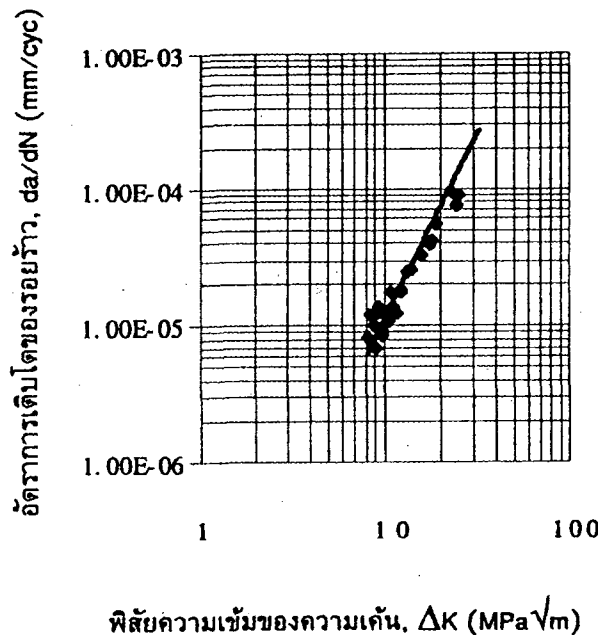
วิธีการทดสอบหาอัตราการเดินโดยของรอยร้าวภายใต้ภาระแบบแอมป์ลิจูดคงที่ของงานวิจัยนี้คัดตามมาตรฐาน ASTM E647 การวัดความยาวของร้าวระหว่างช่วงเวลาทดสอบของกราฟถอยในส่วนที่ 2 และ 3 สามารถทำได้โดยหยุดภาระที่ภาระทำต่อชิ้นงานแล้วถอดชิ้นงานออกมาวัดความยาวของรอยร้าวด้วยกล้องไมโครสโคปโดยใช้กำลังขยาย 400 เท่า ความละเอียดของการวัดความยาวของรอยร้าวด้วยกล้องไมโครสโคปโดยใช้กำลังขยาย 400 เท่า ความคลาดเคลื่อนของการวัดความยาวของรอยร้าวเท่ากับ 0.1 มม. ค่าความยาวของรอยร้าวที่ได้จะนำมาคำนวณช่วงของการรับภาระจะถูกบันทึกเพื่อนำไปประเมินผลสร้างเส้นโค้งอัตราการเดินโดยของรอยร้าวเนื่องจากความล้าต่อไป

ผลการทดสอบ และการอภิปราย

จากการทดสอบพบว่าค่าความด้านทานในการแตกหักของวัสดุเหล็กเพลาข้าวมีค่าเท่ากับ $114.92 \text{ MPa}^{\sqrt{m}}$ และเนื่องจากเงื่อนไขที่ต้องการสำหรับการเกิดสถานะความเค้นแบบความเครียดระนาบเป็นจริง จึงสามารถสรุปได้ว่า $K_c = 114.92 \text{ MPa}^{\sqrt{m}}$

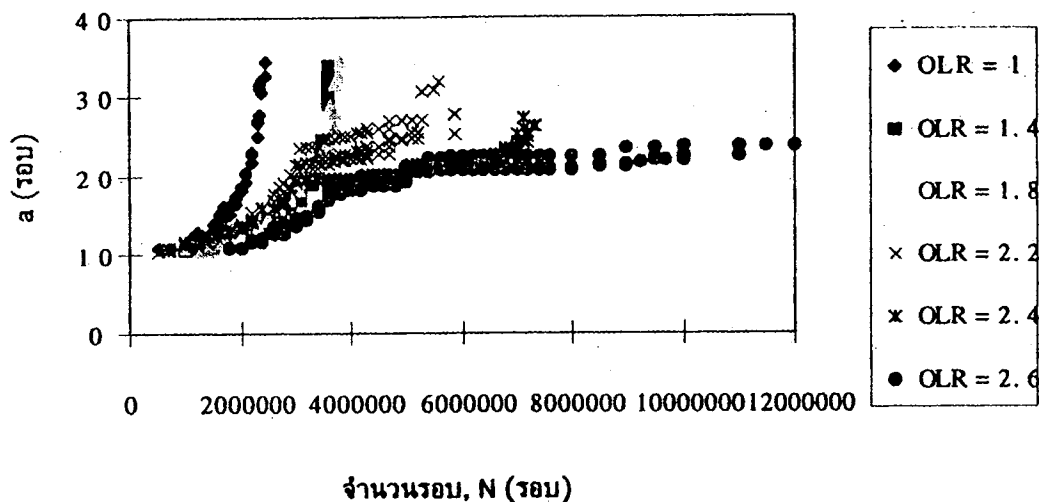
เส้นโค้งแสดงอัตราการเดินโดยของรอยร้าวเนื่องจากความล้าภายใต้ภาระเปลี่ยนแปลงแบบแอมป์ลิจูดคงที่ ณ สภาวะทดสอบ 2.000 ± 0.500 ตัน และอยู่ในรูปที่ 4 โดยมีสมการที่แทนพหุตິกรรมการเดินโดยของรอยร้าวเขียนได้ในรูป

$$\frac{da}{dN} = 2 \times 10^{-8} (\Delta K)^{2.73}$$

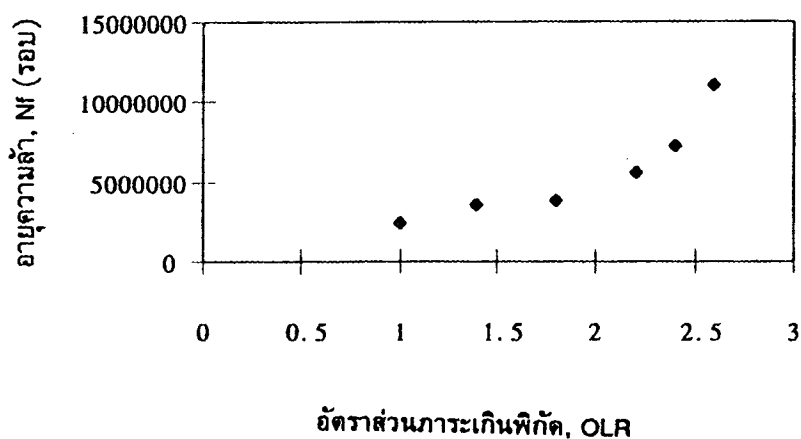


รูปที่ 4 แสดงเส้นโค้งอัตราการเดินโดยของรอยร้าวเนื่องจากความล้าที่สภาวะทดสอบ 2.000 ± 0.500 ตัน

ผลของการแบบเกินพิกัดซึ่งกระทำเป็นความต่อเส้นโค้งการเติบโตของรอยร้าว และอายุความล้าของชั้นงานทดสอบแสดงอยู่ในรูปที่ 5 และรูปที่ 6 ตามลำดับ



รูปที่ 5 แสดงเส้นโค้งเปรียบเทียบการเติบโตของร้าวในกรณีที่เกิด และไม่เกิดการแบบเกินพิกัด



รูปที่ 6 แสดงอายุความล้าที่ค่าอัตราส่วนของการแบบเกินพิกัดต่าง ๆ

การที่วัสดุเหล็กเพลาขาวมีอายุความล้าเพิ่มขึ้นภายใต้แบบเกินพิกัดซึ่งกระทำเป็นรอบนั้นสาเหตุหนึ่งที่เป็นไปได้ก็คือ การเกินพิกัดทำให้เนื้อวัสดุที่ปลายรอยร้าวเกิดการครack เป็นบริเวณที่ใหญ่กว่าบริเวณเสียรูปแบบพลาสติกภายใต้ภาวะเปลี่ยนแปลงปกติ เมื่อผ่านพ้นการกระทำของภาวะแบบเกินพิกัดบริเวณยิดหยุ่นที่ห้อมล้อมบริเวณเสียรูปแบบพลาสติกไว้จะพยายามหดตัวคืนเหมือนกับการหดตัวของโลหะ เช่น ทองแดง แต่เมื่อหดตัวแล้วบริเวณที่หดตัวไม่สามารถหดตัวได้ตามไปด้วย จึงเกิดการแตกหักของวัสดุที่หดตัวไม่ได้ ทำให้อัตราการเติบโตของรอยร้าวมีค่าลดลง

สรุป

1. แนวทางของกลศาสตร์การแตกหักยืดหยุ่นเชิงเส้น ได้ถูกนำมาใช้ในการวิเคราะห์ปัญหาความล้าของวัสดุเหล็กเพลาขาว ทั้งในแง่มุมของการหาค่าพารามิเตอร์วิกฤติที่เป็นตัวบ่งบอกถึงการเกิดความเสียหายในวัสดุที่มีรอยร้าว และการประยุกต์กับปัญหาความล้า
2. ในช่วงค่าอัตราส่วนภาระเกินพิกัดระหว่าง 1 ถึง 2.6 พบว่าอยู่ความล้าของวัสดุเหล็กเพลาขาวมีแนวโน้มเพิ่มขึ้นเมื่อค่าอัตราส่วนภาระเกินพิกัดมีค่าเพิ่มขึ้น
3. การเกิดภาระเกินพิกัดซึ่งกระทำด้วยวัสดุเหล็กเพลาขาวทุก ๆ 200,000 รอบ จะทำให้อยู่ความล้าเพิ่มขึ้น

เอกสารอ้างอิง

- Anderson, T.L. 1991 Fracture Mechanics Fundamentals and Applications, CRC Press, Boca Raton, Florida
- ASTM. 1990 Anual Book of ASTM Standards, Vol. 03.01, American Society for Testing and Materials, Philadelphia
- Pa. No. E399, "Standard Test Method for Plane-Strain Fracture Toughness of Metallic Materials"
- Pa. No. E647, "Standard Test Method for Measurement of Fatigue Crack Growth Rates"
- Bannantine, J. A., J.J. Comer, and J.L. Handrock. 1990 Fundamental of Metal Fatigue Analysis, Prentice-Hall, Englewood Cliffs, New Jersey
- Barsom, J.M. and S.T. Rolfe. 1987 Fracture and Fatigue Control in Structures, 2nd ed., Prentice-Hall, Englewood Cliffs, N.J.
- Broek, D. 1986 Elementary Engineering Fracture Mechanics, 4th ed., Kluwer Academic Pubs., Dordrecht, Netherland
- Broek, D. 1986 The Practical Use of Fracture Mechanics, Kluwer Academic Pubs., Dordrecht, Netherland
- Collin, J.A. 1981 Failure of Materials in Mechanical Design, John Wiley, New York.
- Frost, N.E., Marsh, K.J., and Pook, L.P. 1974 Metal Fatigue, Clarendon Press, Oxford, UK.
- Fuch, H.O. and R.I. Stephens. 1980 Metal Fatigue in Engineering, John Wiley, New York
- Hertzberg, R.W. 1989 Deformation and Fracture Mechanics of Engineering Materials, 3rd ed., John Wiley, New York.

Rice R.C.,ed. 1988 Fatigue Design Handbook, 2nd ed., SAE Pub.No. AE-10,Society of
Automotive Engineers, Warrendale, Pa.

Suresh, S. 1991 Fatigue of Materials, Cambridge University Press, Cambridge, UK.